

بهسازی و تعیین درجه استیل زدایی کیتوزان با روش تیتراسیون پتانسیل سنجی و طیف‌نمایی زیر قرمز

مرتضی حسن‌زاده کفشه‌گری^{*}، محمد خرم*

شیراز، دانشگاه شیراز، دانشکده مهندسی شیمی، نفت و گاز

محسن منصوری، عبدالرضا صمیمی

زاهدان، دانشگاه سیستان و بلوچستان، دانشکده مهندسی شهید نیکبخت، گروه مهندسی شیمی

چکیده: درجه‌ی استیل زدایی کیتوزان در ویژگی‌های فیزیکی، شیمیایی و زیستی نقش اساسی دارد. از این‌رو، در این پژوهش، کیتوزان با ویسکوزیته‌ی پائین، وزن مولکولی متوسط و کیتوزان با وزن مولکولی بالا (دارای ناخالصی و بهسازی شده) برای تعیین درجه‌ی استیل زدایی با استفاده از یک روش آسان و دقیق مورد مطالعه قرار گرفت. درجه‌ی استیل زدایی کیتوزان‌ها از روش طیف‌نمایی زیر قرمز تبدیل فوریه (روش سوری و رابرتس، خط مبنای a) و روش باکستر و همکاران، خط مبنای b) و تیتراسیون پتانسیل سنجی خطی تعیین شد. در روش ارایه شده برای حذف ناخالصی‌ها و بهسازی درجه‌ی استیل زدایی کیتوزان با وزن مولکولی بالا، درجه‌ی استیل زدایی از ۱/۶۰ به ۷/۹۲ درصد افزایش چشمگیری پیدا کرد. نتیجه‌های به دست آمده با متوسط ریشه مجذور انحراف مطلق ($\bar{\sigma}_{RMSD}$) مقایسه شد و همپوشانی روش‌های تیتراسیون پتانسیل سنجی و طیف‌نمایی زیر قرمز را برای خط مبنای a نشان داد. بررسی درجه‌ی استیل زدایی کیتوزان‌ها، افزایش درجه‌ی استیل زدایی را با افزایش ویسکوزیته و وزن مولکولی کیتوزان نشان داد.

واژه‌های کلیدی: کیتوزان، درجه استیل زدایی، تیتراسیون پتانسیل سنجی، طیف‌نمایی زیر قرمز.

KEY WORDS: Chitosan, Degree of deacetylation, Potentiometric titration, Infrared spectroscopy.

مقدمه

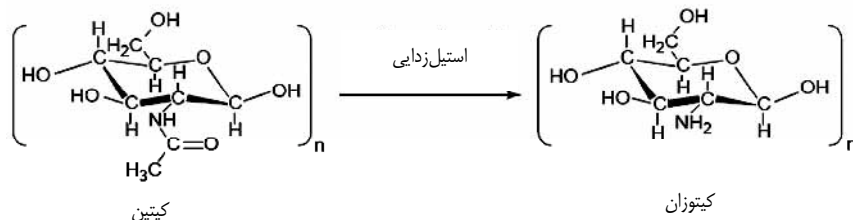
با ساختار مولکولی نشان داده در شکل ۱ به دست می‌آید [۳ - ۱]. درجه‌ی استیل زدایی نسبت گروه‌های استیل گلوكز آمین به گروه‌های آمین موجود در ساختار کیتوزان را نشان می‌دهد. کیتوزان در pH ۵/۷ کمتر از ۵/۷ به صورت چند کاتیونی می‌باشد و به آسانی با ترکیب‌های دارای بارمنفی مثل پروتئین‌ها، پلی‌ساقاریدهای آنیونی، اسیدهای چرب و فسفو لیپیدها واکنش می‌دهد. بهدلیل وجود گروه‌های آمینی در ساختمان کیتوزان، این ماده

کیتین یک پلیمر زیست ساختار و دومین پلیمر فراوان موجود در زمین است که در ساختار موجوداتی همچون خرچنگ، میگو، حشره‌ها، برخی از قارچ‌ها و ریز جانداران یافت می‌شود، و ساختمان شیمیایی شبیه به سلولز دارد. کیتین، پلی ساقارید نیتروژن دار است که سفید رنگ، سخت، غیر الاستیک، دارای واکنش پذیری ضعیف و نامحلول در آب، محلول‌های غلیظ و محلول‌های قلیایی است. با انجام فرایند استیل زدایی بر روی کیتین، کیتوزان به عنوان یک پلی‌ساقارید

+E-mail: mkhoram@shirazu.ac.ir

* عهده دار مکاتبات

• آدرس دیگر: زاهدان، دانشگاه سیستان و بلوچستان، دانشکده مهندسی شهید نیکبخت، گروه مهندسی شیمی



شکل ۱- ساختمان مولکولی کیتین و کیتوزان.

موردها اختیاری است و در بیشتر موارد، این روش‌ها در تعیین دقیق درجهٔ استیل زدایی همپوشانی کامل ندارند. بنابراین تعیین یک روش استاندارد که تولید کنندگان و مصرف کنندگان را راضی کند لازم به نظر می‌رسد. هدف از این پژوهش، تهیهٔ کیتوزان با درصد استیل زدایی بالا و خالص و تعیین آسان درصد استیل زدایی کیتوزان می‌باشد. بنابراین، ابتدا از یک روش کاملاً ساده با استفاده از سانتریفیوژ با سرعت چرخش بالا برای خالص‌سازی کیتوزان و بهسازی درجهٔ استیل زدایی کیتوزان استفاده شد. سپس درجهٔ استیل زدایی کیتوزان با ویسکوزیتهٔ پایین، کیتوزان با وزن مولکولی متوسط و کیتوزان با وزن مولکولی بالا (دارای ناخالصی و بهسازی شده) با روش‌های ساده و کاربردی تیتراسیون پتانسیل سنجی و طیف‌نامایی زیر قرمز مورد مقایسه و بررسی قرار گرفت. در پایان، روش مناسب برای تعیین درجهٔ استیل زدایی کیتوزان با استفاده از کمترین متوسط ریشه محدود انحراف مطلق درجهٔ استیل زدایی به دست آمده مشخص شد.

بخش تجربی

مواد

کیتوزان با وزن مولکولی بالا (۶۰۰ kDa)، کیتوزان با وزن مولکولی متوسط (۴۰۰ kDa) و کیتوزان با ویسکوزیتهٔ پایین فراورده‌های شرکت Fluka (آمریکا) تهیه شد. هیدروکلریدریک اسید سدیم هیدروکسید و استیک اسید تولید شرکت Merck (آلمان) خریداری شد و بدون هیچ خالص سازی مورد استفاده قرار گرفت.

خالص سازی و بهسازی کیتوزان

کیتوزان (۱ گرم) در ۱۰۰ میلی لیتر محلول استیک اسید ۷/V٪ حل شد. محلول کیتوزان تهیه شده برای جداسازی ذره‌ها و ناخالصی‌های موجود در آن، ابتدا با سرعت ۶۰۰۰ rpm در مدت

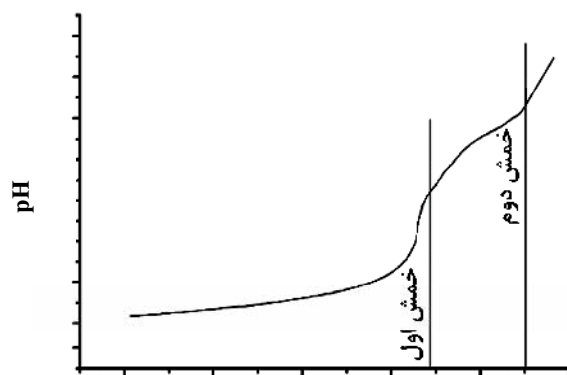
در محیط‌های اسیدی از حلایت بهتری برخوردار است [۲، ۴، ۵]. فرایند استیل زدایی کیتین برای افزایش کیفیت کاربردی آن در زمینه‌های گوناگونی همچون زیست فناوری، درمان با دامنهٔ گسترده‌ای از کاربردهای داروسانی و ژن درمانی، تصفیه آب نوشیدنی و سه‌زدایی پساب‌های پر خطر، علوم غذایی، جذب پروتئین‌ها و آنزیم‌ها، غشا-غشاها، اسمز معکوس و غیره به کار می‌رود. کیتوزان با کیفیت دلخواه، دارای وزن مولکولی پایین و درجهٔ استیل زدایی (DD) بالا است که حلایت، چگالی و در مجموع رفتار شیمیایی، فیریکی و زیستی متفاوتی را نسبت به کیتین نشان می‌دهد. وزن مولکولی کیتوزان به گرانروی محلول و درجهٔ استیل زدایی مربوط می‌باشد و بر اساس معادلهٔ مارک - هوینک با گرانروی و ثابت‌های مشخص شده براساس درجهٔ استیل زدایی، تعیین می‌شود [۳]. به دلیل زمینه‌های کاربردی فراوان کیتوزان، افزایش درجهٔ استیل زدایی بدون گروه‌های آمیدی و در نتیجه کیفیت آن بیش از پیش مورد توجه قرار گرفت. از این‌رو، استفاده از روش‌های دقیق، سریع و کارا برای تعیین درجهٔ استیل زدایی کیتوزان مهم و اساسی می‌باشد [۶، ۷]. بنابراین تعدادی از روش‌ها برای تعیین درجهٔ استیل زدایی کیتوزان شامل طیف سنجی مادون قرمز [۷]، طیف سنجی مادون قرمز نزدیک [۸]، طیف نور سنجی-UV [۹]، تیتراسیون کلوبنیدی [۹]، تیتراسیون پتانسیل سنجی خطی [۱۰]، روش آنزیمی [۱۰]، رزونانس مغناطیس هسته [۱۱] و طیف نور سنجی سیرکولار دیکروپلیزم [۱۲] معرفی و به کار گرفته شده است. ویژگی‌ها و پتانسیل کاربردی کیتوزان به درجهٔ استیل زدایی ارتباط خلی خوبی نزدیکی دارد و درجهٔ استیل زدایی به عنوان یکی از پارامترهای مؤثر در ویژگی‌ها و رفتار این پلیمر می‌باشد. از طرفی پی بردن به تأثیرهای درجهٔ استیل زدایی بر پارامترهای مورد بررسی در پژوهش‌ها، نیازمند صرف هزینه‌های زیادی برای خرید کیتوزان با درصد استیل زدایی متفاوت است. استفاده از روش‌های اشاره شده برای تعیین درجهٔ استیل زدایی کیتوزان در بیشتر

گروههای آمینی کیتوzan را مشخص می‌کند [۶,۹]. درجه استیلزدایی کیتوzan با استفاده از معادله (۱) محاسبه می‌شود [۱۷]:

$$DD\% = \Delta V \times C_{NaOH} \times 10^{-3} \times 16 \times (M_{Chitosan} \times 0.994)^{-1} \quad (1)$$

که در آن ΔV حجم محلول سدیم هیدروکسید اضافه شده میان دو نقطه‌ی خم، C_{NaOH} غلظت محلول سدیم هیدروکسید، $M_{Chitosan}$ وزن کیتوzan استفاده شده در محلول و اعداد ۱۶ و ۰.۹۹۴ به ترتیب وزن مولکولی مربوط و مقدار نظری گروههای آمینی کیتوzan می‌باشد.

برای بررسی درجه استیلزدایی کیتوzan با روش تیتراسیون پتانسیل سنجی، پودر کیتوzan تازه و یا بهسازی شده (۰/۱۵ گرم) در ۲۵ میلی لیتر هیدروکلریدریک اسید ۰/۲ مولار با همزدن مداوم، به مدت ۲۴ ساعت حل شد. بعد از آماده شدن محلول کیتوzan، محلول سدیم هیدروکسید ۰/۱ مولار به آرامی به سامانه افزوده و pH محلول با pH متر (METROHM 620, Swiss) اندازه گرفته شد. تغییر pH بر حسب حجم به کارگرفته شده از محلول سدیم هیدروکسید، مقدار حجم محلول سدیم هیدروکسید اضافه شده میان دو نقطه‌ی خم را برای تعیین درجه استیلزدایی مشخص می‌کند.



شکل ۲- نقاط هم‌ارزی اول و دوم در روش تیتراسیون پتانسیل سنجی در تعیین درجه استیلزدایی کیتوzan.

زمان ۱۰ دقیقه سانتریفیوژ (مدل 20 EBA Hettich) شد. بیشتر ناخالصی‌های کیتوzan در لوله‌ی آزمایش تهنشین شدند. محلول بالای کیتوzan برای اطمینان بیشتر صاف شد. محلول صاف شده جدا شد و به آن محلول سدیم هیدروکسید ۲ مولار اضافه شد، تا زمانی که محلول کیتوzan به حالت ژل درآید. کیتوzan ژله‌ای تا زمانی که pH محلول به pH خنثی برسد، چند بار با آب مقطراً شستشو داده شد. فراورده‌ی نهایی در چند شباهه روز در دمای ۳۵°C در آون خشک شد.

طیف نمایی زیر قرمز و تعیین درجه استیلزدایی کیتوzan

در روش طیف نمایی مادون قرمز، از میزان جذب گروه عاملی ثابت آمینی (A_M) و شدت جذب یک گروه عاملی مرجع (A_R) که با تغییر در درجه استیلزدایی تغییر نمی‌کند، برای تعیین درجه استیلزدایی کیتوzan، بر اساس نسبت A_M / A_R استفاده می‌شود. بنابراین در این روش، جذب گروههای عاملی گوناگونی برای تعیین دقیق درجه استیلزدایی کیتوzan مورد استفاده قرار می‌گیرد و هر یک از این گروههای عاملی انتخاب شده دارای برتری‌ها و عیوبهایی در تعیین درجه استیلزدایی کیتوzan می‌باشد [۱۳]. از میان روش‌های گوناگون براساس گروههای عاملی در طیف سنجی مادون قرمز، موری و رابرт [۱۴] و همچنین باکستر و همکاران [۱۵]، روش‌های مناسبی را برای تعیین درجه استیلزدایی کیتوzan معرفی کردند. همان‌گونه که در شکل ۳ نشان داده شده است، درجه استیلزدایی با محاسبه‌ی نسبت جذب در طول موج‌های 1655 cm^{-1} مربوط به گروه ثابت آمینی و 3450 cm^{-1} (گروه عاملی O-H) که

تیتراسیون پتانسیل سنجی و تعیین درجه استیلزدایی کیتوzan

روش تیتراسیون پتانسیل سنجی یک روش ساده برای تعیین درجه استیلزدایی کیتوzan می‌باشد، که توسط برواسیگناک پیشنهاد شده است [۶]. این روش با تجهیزهای و مواد شیمیایی معمولی موجود در یک آزمایشگاه ساده به سرعت و به آسانی انجام پذیر است. روش تیتراسیون پتانسیل سنجی یک روش قابل اعتماد در تعیین دقیق درجه استیلزدایی کیتوzan بالاتر از ۸۰ درصد است [۱۳، ۸]. در این روش کیتوzan در مقدار مشخصی از محلول هیدروکلریدریک اسید حل شده و سپس با محلول سدیم هیدروکسید به صورت پتانسیل سنجی تیتر می‌شود. با رسم منحنی تغییرهای pH محلول تیتر شونده، نمودار تیتراسیون با دو نقطه‌ی خم، به دست می‌آید. همانگونه که در شکل ۲ نشان داده شده است، نقطه‌ی خم اول و دوم به ترتیب مربوط به نقطه‌ی هم‌ارزی هیدروکلریدریک اسید اضافی و تیتراسیون کیتوzan پروتون دار شده می‌باشد. تفاوت بین این دو نقطه، اسید مورد نیاز برای پروتون دار شدن

که براساس درجه استیلزدایی کیتوزان و نسبت A_{1655}/A_{345} توسط باکستر و همکاران پیشنهاد شده است [۱۵].
براساس شکل ۳ مقدارهای جذب کنندگی برای پیوندهای آمینی و هیدروکسیلی کیتوزان به وسیله معادله‌های ریاضی که توسط ساببیس و بلاک ارایه شده است، محاسبه می‌شود:

$$\text{Log}_{10}(DF/DE) = A_{1655} \quad (4)$$

$$\text{Log}_{10}(DG/DE) = A_{345} \quad (5)$$

$$\text{Log}_{10}(AB/AC) = A_{345}. \quad (6)$$

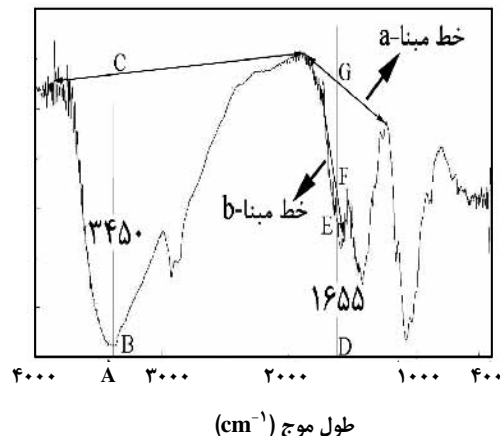
در حالی که DG (برای خطمبنای a) و DF (برای خطمبنای b)، DE، AC و AB ارتفاع مطلق پیوندهای جذب گروه‌های عاملی را در طول موج‌های مربوطه نمایش می‌دهند [۱۶]. بنابراین با اندازه‌گیری ارتفاع مطلق گروه‌های عاملی و تعیین لگاریتم براساس معادله‌های ریاضی اشاره شده، مقدارهای جذب کنندگی پیوندها در معادله‌های (۲) و (۳) تعیین می‌شوند.

در این پژوهش، نمونه‌های خالص و بهسازی شده از کیتوزان و پتاسیم برمید در قالب فشرده و قبل از تجزیه طیف نمایی زیر قرمز در آون خشک شد. طیف نمونه‌های کیتوزان خالص و بهسازی شده با دستگاه طیف نمایی زیر قرمز (Jasco Inc, Maryland, USA) با بازه‌ی فرکانس ماین 4000 cm^{-1} تا 400 cm^{-1} و دقت 4 cm^{-1} گرفته شد. طیف زیر قرمز نمونه‌ها براساس روش‌های آورده شده مورد بررسی و درجه استیلزدایی آن‌ها تعیین شد.

نتیجه‌ها و بحث

بهسازی کیتوزان ناخالص

کیتوزان با درجه استیلزدایی زیر 50% درصد دارای ویژگی‌های فیزیکی و شیمیایی کیتین است و افزایش آن به بالاتر از 50% درصد، ویژگی‌های فیزیکی و شیمیایی کیتین را به کیتوزان تبدیل می‌کند [۲۰، ۱۴]. البته کیتوزان با درجه استیلزدایی نزدیک به 100% درصد دارای کاربرد و ویژگی‌های چشمگیری می‌باشد که از آنها می‌توان به ویژگی ضد باکتریایی آن اشاره کرد [۲]. بنابراین، در کاربردهای نانوپیزشکی، کیتوزان با درجه استیلزدایی نزدیک 50% درصد قابل مصرف نیست و از سوی دیگر، کیتوزان با درجه استیلزدایی پایین لزج می‌باشد و استفاده از آن در فرایندهای گوناگون برای تهیه ذره‌های کیتوزانی بارور شده با دارو مناسب نمی‌باشد [۳]. به منظور بهسازی درجه استیلزدایی نمونه‌های کیتوزان،



شکل ۳- روش طیف نمایی زیر قرمز و خطوط مبنای a و b در تعیین درجه استیلزدایی کیتوزان.

به عنوان گروه عاملی مرجع می‌باشند، به دست می‌آید. این دو روش، برای تعیین درجه استیلزدایی کیتوزان در بازه‌ی ۱۵ تا 80% و برای نمونه‌های کیتوزانی شفاف و بلورین و کاملاً خشک شده مناسب می‌باشند [۱۳].

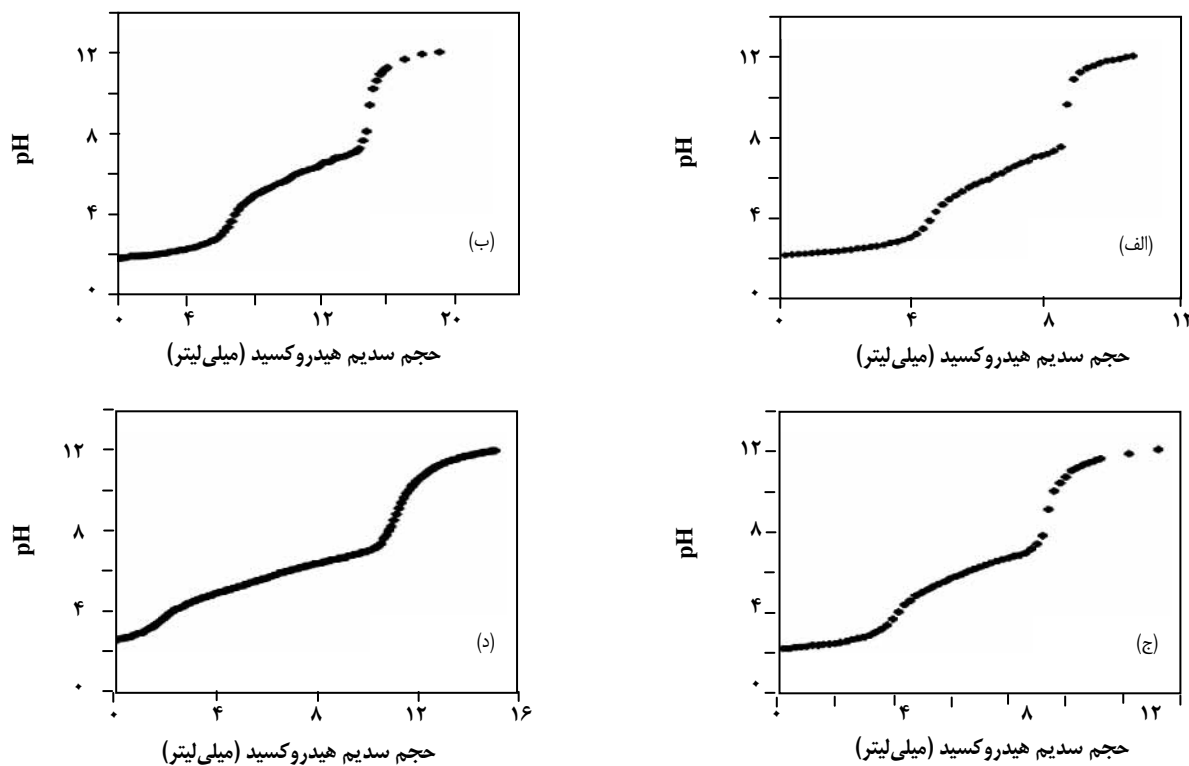
بر این اساس، همان‌گونه که در شکل ۳ آورده شده است، درجه استیلزدایی نمونه‌های کیتوزانی با استفاده از دو خط مبنای متفاوت محاسبه می‌شود، خط مبنای (a)، به وسیله‌ی دامنی و رایبرت [۱۶] و خط مبنای (b) توسط باکستر و همکاران [۱۵] پیشنهاد شده است. معادله‌های محاسباتی برای این دو خط مبنای درجه استیلزدایی به وسیله‌ی معادله (۲) تعیین شود:

$$\text{DD}\% = 100 - \left[\left(A_{1655} / A_{345} \right) \times 100 \right] \quad (2)$$

که A_{1655} و A_{345} به ترتیب مقدار جذب پیوند گروه آمیدی-I در 1655 cm^{-1} و مقدار جذب در پیوند هیدروکسیلی کیتوزان را طول موج 3450 cm^{-1} نشان می‌دهند. عدد 100 اندازه‌ی نسبت اختلاف A_{1655} / A_{345} را برای کیتوزان با استیلزدایی کامل نشان می‌دهد. در این معادله فرض شده است که اندازه‌ی این نسبت برای کیتوزان با استیلزدایی کامل صفر است و یک معادله‌ی خطی میان ثابت گروه N-acetyl و مقدار جذب کنندگی پیوند آمینی-I وجود دارد [۱۳، ۱۶].

تعیین درجه استیلزدایی براساس خط مبنای (b)، از معادله (۳) امکان پذیر است:

$$\text{DD}\% = 100 - \left[\left(A_{1655} / A_{345} \right) \times 115 \right] \quad (3)$$



شکل ۴- تیتراسیون پتانسیل سنجی کیتوزان با (الف) ویسکوزیته پایین، (ب) وزن مولکولی متوسط، (ج) وزن مولکولی بالا ناخالص، (د) وزن مولکولی بالا بهسازی شده.

استیلزدایی برای کیتوزان با ویسکوزیته‌ی پایین، کیتوزان با وزن مولکولی متوسط و بالا و همچنین کیتوزان بهسازی شده، با استفاده از معادله‌ی (۶) تعیین و در جدول ۱ آورده شده است. در این پژوهش کیتوزان بهسازی شده دارای بالاترین درجه‌ی استیلزدایی نسبت به کیتوزان ناخالص با وزن مولکولی بالا و دیگر نمونه‌های کیتوزانی می‌باشد. درجه‌ی استیلزدایی کیتوزان به روش فرآوری کیتوزان از کیتین بستگی دارد [۲]، و دقت محاسبه درجه استیلزدایی با فرآوری کیتوزان خالص با مقدار قابل چشم‌پوشی از پروتئین‌ها بالاتر می‌رود، زیرا ناخالصی‌های پروتون - فعال در میزان تغییر پروتون‌های موجود در روش تیتراسیون سدیم هیدروکسید خطأ ایجاد می‌کند. ولی در این روش گروه‌های عاملی به صورت مستقیم اندازه‌گیری می‌شود، و از شناساگرهای رنگی که در روش‌هایی مانند تیتراسیون با هیدروژن برمید به کارگرفته می‌شود و دارای خطای فردی هستند استفاده نمی‌شود. در روش تیتراسیون با سدیم هیدروکسید همان‌گونه که از نتیجه‌ها مشخص است، درجه‌ی استیلزدایی کیتوزان با بهسازی نمونه ناخالص از ۶۰/۱ به ۹۲/۷ افزایش یافت و این نشان از افزایش

در ابتدا ناخالصی‌های موجود در پودر کیتوزان با استفاده از ساتریفیوژ با سرعت چرخشی ۶۰۰۰ rpm جدا و با افزایش محلول سدیم هیدروکسید درجه‌ی استیلزدایی کیتوزان با حذف کافی گروه‌های استیل (CH₃-CO) و رهاسازی گروه‌های آمین (NH-) که به کیتوزان خاصیت کاتیونی می‌دهد افزایش یافت [۶، ۱۱، ۱۲].

تیتراسیون پتانسیل سنجی و درجه‌ی استیلزدایی کیتوزان

برای تعیین درجه‌ی استیلزدایی، محلول‌های کیتوزان با محلول سدیم هیدروکسید تیتر شدند و تغییر pH محلول‌های کیتوزان با پتانسیل سنج اندازه گرفته شد. نمودار تغییر pH برای محلول‌های کیتوزان در شکل ۴ آورده شده است. همان‌گونه که از این شکل مشخص است، نمودارها دارای دو نقطه‌ی خمس هم‌ارزی می‌باشند. اولین و دومین نقطه‌ی خمس، به ترتیب نقطه‌های هم‌ارزی از تیتراسیون هیدروکلریدریک اسید اضافی در محلول و تیتراسیون کیتوزان پروتون دار شده می‌باشد. مقدار اسید مورد نیاز برای پروتون دار کردن گروه‌های آمینی کیتوزان به وسیله‌ی تفاوت میان دو نقطه‌ی خمس تعیین شده است [۶، ۹]. نتیجه‌های درجه‌ی

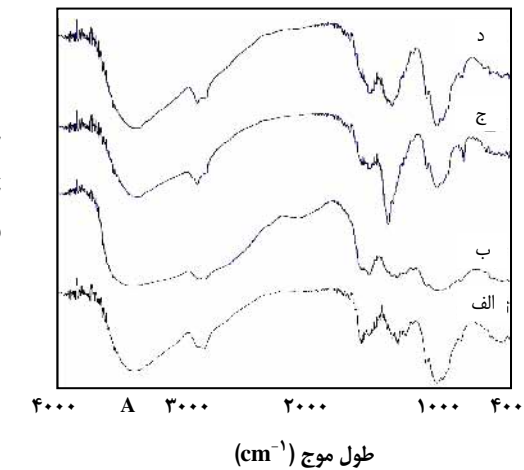
جدول ۱- درجهٔ استیلزدایی تعیین شده کیتوزان با روش تیتراسیون پتانسیل سنجی.

درصد درجهٔ استیلزدایی		کیتوزان
تیتراسیون پتانسیل سنجی	۷۱,۳۱۴	ویسکوزیتهٔ پایین
	۸۳,۵۳۹	وزن مولکولی متوسط
	۶۰,۱۰۷	وزن مولکولی بالا (دارای ناخالصی)
	۹۲,۷۰۸	وزن مولکولی بالا (بهسازی شده)

جدول ۲- درجهٔ استیلزدایی تعیین شده کیتوزان با روش طیف نمایی زیر قرمز.

درصد درجهٔ استیلزدایی		کیتوزان
تجزیه طیف زیر قرمز- خط مبنا (b)	تجزیه طیف زیر قرمز- خط مبنا (a)	کیتوزان
۷۴,۸۷۵	۷۰,۷۰۷	ویسکوزیتهٔ پایین
۷۷,۲۶۴	۷۳,۹۰۸	وزن مولکولی متوسط
۸۴,۵۲۱	۶۸,۸۱	وزن مولکولی بالا (دارای ناخالصی)
۹۳,۱۸۲	۸۲,۶۱۷	وزن مولکولی بالا (بهسازی شده)

متوسط و با ویسکوزیتهٔ پایین در جدول ۲ آورده شده است. در شکل ۵ طیف زیر قرمز تمام نمونه‌ها نمایش داده شده است. در طیف زیر قرمز پودرهای کیتوزان، پیک‌هایی در طول موج‌های $3700-3000\text{ cm}^{-1}$ وجود دارد که گروه‌های عاملی $\text{O}-\text{H}$ و NH_2 را نشان می‌دهد. همچنین در طول موج 2876 cm^{-1} گروه عاملی CONH - و در طول موج 1656 cm^{-1} گروه آمیدی $\text{CH}-$ و در 1322 cm^{-1} گروه آمیدی $\text{NH}-$ باند دوم و در طول موج 1083 cm^{-1} گروه آمیدی $\text{NH}-$ باند سوم و همچنین در طول موج 1554 cm^{-1} گروه آمیدی $\text{C}-\text{O}$ را نشان می‌دهد. درجهٔ استیلزدایی کیتوزان با وزن مولکولی بالا، متوسط و با ویسکوزیتهٔ پایین با روش سانپس و بالاک [۱۶] تعیین شده است. همان‌گونه که اشاره شده، در این روش از پیوند $\text{O}-\text{H}$ برای تعیین درجهٔ استیلزدایی بر اساس خط مبنا (a) و یا (b) استفاده می‌شود که استفاده از کیتوزان کاملاً خشک را توصیه می‌کند، زیرا وجود مقدار ناچیز رطوبت، تغییر چشمگیری را در میزان درجهٔ استیلزدایی سبب می‌شود. نتیجه‌های به دست آمده بر اساس خط مبنا (a) دارای پیش‌بینی خوبی برای درجهٔ استیلزدایی کیتوزان با ویسکوزیتهٔ پایین می‌باشد، ولی برای نمونه‌های دیگر کیتوزان نتیجه‌های مناسبی را نشان نداده است. محاسبهٔ درجهٔ استیلزدایی بر اساس خط مبنا (b) دارای پیش‌بینی به طور کامل مناسب‌تری نسبت به محاسبه‌های خط مبنا (a) برای کیتوزان با وزن مولکولی بالا و متوسط می‌باشد.



شکل ۵- طیف نمایی زیر قرمز کیتوزان با (الف) ویسکوزیتهٔ پایین، (ب) وزن مولکولی متوسط، (ج) وزن مولکولی بالا ناخالص، (د) وزن مولکولی بالا بهسازی شده.

پیوندهای هیدروژنی بین مولکولی کیتوزان و شبکه‌ای شدن منومرهای کیتوزانی می‌باشد. البته افزایش این پیوندهای هیدروژنی باعث افزایش وزن مولکولی کیتوزان بهسازی شده نیز می‌شود [۸، ۶].

طیف نمایی زیر قرمز و درجهٔ استیلزدایی کیتوزان
نتیجه‌های به دست آمده از تجزیه طیف زیر قرمز کیتوزان با وزن مولکولی بالا (ناخالص و بهسازی شده)، کیتوزان با وزن مولکولی

جدول ۳- متوسط مجذور انحراف مطلق درجه استیلزدایی تعیین شده نمونه‌های کیتوzan.

σ_{RMSD}	روش
۹,۴۳	تیتراسیون پتانسیل سنجی : تجزیه طیف زیر قرمز - خط مبنا (a)
۱۳,۴۱	تیتراسیون پتانسیل سنجی : تجزیه طیف زیر قرمز - خط مبنا (b)
۱۱,۵۱	تجزیه طیف زیر قرمز - خط مبنا (a) : تجزیه طیف زیر قرمز - خط مبنا (b)

نتیجه‌گیری

در این پژوهش، فرایند خالص‌سازی و بهسازی درجه استیلزدایی کیتوzan دارای ناخالصی با یک روش ساده و جدید بررسی شد. درجه استیلزدایی کیتوzan با ویسکوزیته‌ی پائین، وزن مولکولی متوسط و بالا دارای ناخالصی و بهسازی شده با روش‌های تیتراسیون پتانسیل سنجی و طیف‌نمایی زیر قرمز تبدیل فوریه تعیین شد. درجه استیلزدایی کیتوzan ناخالص با وزن مولکولی بالا، با انجام خالص‌سازی و بهسازی، از ۶۰,۱۰۷ به ۹۲,۷۰۸ درصد به طور چشمگیری افزایش یافت. مقایسه‌ی روش‌های تجزیه درجه استیلزدایی کیتوzan‌های گوناگون با استفاده از متوسط ریشه مجذور انحراف مطلق (σ_{RMSD}), نزدیکی روش‌های تیتراسیون پتانسیل سنجی و طیف‌نمایی زیر قرمز با خط مبانی a را در تعیین درجه استیلزدایی نشان می‌دهد. در مجموع، درجه استیلزدایی کیتوzan‌ها، با افزایش وزن مولکولی و ویسکوزیته‌ی محلول کیتوzanی افزایش می‌یابد.

تاریخ دریافت: ۱۳۹۱/۱۰/۱۳ ، تاریخ پذیرش: ۱۳۹۱/۶/۱۳

نتیجه‌های درجه استیلزدایی به دست آمده از تجزیه طیف زیر قرمز کیتوzan که در جدول ۲ گزارش شده است، تطابق مناسبی با نتیجه‌های به دست آمده از روش تیتراسیون پتانسیل سنجی دارد. در جدول ۳، متوسط ریشه مجذور انحراف مطلق داده‌های روش تیتراسیون پتانسیل سنجی و طیف‌نمایی زیر قرمز تبدیل فوریه برای روش‌های تجزیه مورد استفاده آورده شده است. متوسط ریشه مجذور انحراف مطلق (σ_{RMSD}) از معادله (۷) محاسبه شده است:

$$\sigma_{\text{RMSD}} = \left[\frac{1}{n} \sum_{i=1}^n \left(\frac{DD_{\text{tit}} - DD_{\text{IR}}}{DD_{\text{tit}}} \right)_i^2 \right]^{1/2} \times 100 \quad (7)$$

که n تعداد نمونه‌ها و i شمارنده تعداد نمونه‌ها، DD_{tit} و DD_{IR} به ترتیب درجه استیلزدایی محاسبه شده از تیتراسیون پتانسیل سنجی و طیف‌نمایی زیر قرمز می‌باشند. مقایسه داده‌های محاسبه شده، به ترتیب بیشترین همپوشانی را برای روش‌های تیتراسیون پتانسیل سنجی و طیف‌نمایی زیر قرمز با خط مبانی a و کمترین را با خط مبانی b با ۹,۴۳ و ۱۳,۴۱ درصد نشان می‌دهد.

مراجع

- [1] Freier T., Montenegro R., Koh H. S., Shoichet M. S., Chitin-Based Tubes for Tissue Engineering in the Nervous System, *Biomaterials*, **26**, p. 4624 (2005).
- [2] Ravi Kumar M. N. V., A Review of Chitin and Chitosan Applications, *React. Funct. Polym.*, **46**, p. 1 (2000).
- [3] Senel S., McClure S. J., Potential Applications of Chitosan in Veterinary Medicine, *Adv. Drug Delivery Rev.*, **56**, p. 1467 (2004).
- [4] Curotto E., Aros F., Quantitative Determination of Chitosan and the Percentage of Free Amino Groups, *Anal. Biochem*, **211**, p. 240 (1993).
- [۴] غیاث الدین ع.، شجاع الساداتی سید عباس، واشقانی فراهانی ابراهیم، اصلاح و بهینه سازی فرایند استخراج کیتین از پوست میگو، نشریه شیمی و مهندسی شیمی ایران، (۱)، ۳۰، ص ۱ (۱۳۹۰).

- [6] Jiang X., Chen L., Zhong W., A New Linear Potentiometric Titration Method for the Determination of Deacetylation Degree of Chitosan, *Carbohydr. Polym.*, **54**, p. 457 (2003).
- [7] Sanan T., Kurita K., Ogura K., Iwakura Y., Studies on Chitin: 7. IR Spectroscopy Determination of Degree of Deacetylation, *Polymer*, **19**, p. 458 (1978).
- [8] Muzzarelli R. A. A., Rochetti R., Determination of the Degree of Acetylation of Chitosan by First Derivative Ultraviolet Spectrophotometry, *Carbohydr. Polym.*, **5**, p. 461 (1985).
- [9] Tan S. C., Khor E., Tan T. K., Wong S. M., The Degree of Deacetylation of Chitosan: Advocating the First Derivative UV Spectrophotometry Method of Determination, *Talanta*, **45**, p. 713 (1988).
- [10] Nanjo F., Katsumi R., Sakai K., Enzymatic Method for Determination of the Deacetylation of Chitosan, *Anal. Biochem*, **193**, p. 164 (1991).
- [11] Hiral A., Odani H., Nakajima A., Determination of Degree of Deacetylation of Chitosan by ¹H NMR Spectroscopy, *Polym. Bull.*, **26**, p. 87 (1991).
- [12] Domard A., Determination of N-Acetyl Content in Chitosan Samples by CD Measurements, *Int. J. Biol. Macromol.*, **9**, p. 333 (1987).
- [13] Kasai M. R., A Review of Several Reported Procedures to Determine the Degree of N-acetylation for Chitin and Chitosan Using Infrared Spectroscopy, *Carbohydr. Polym.*, **71**, p. 497 (2008).
- [14] Moore G. K., Roberts G. A. F., Determination of the Degree of N-Acetylation of Chitosan, *Int. J. Biol. Macromol.*, **2**, p. 115 (1980).
- [15] Baxter A., Dillon M., Taylor K. D., Roberts G. A. F., Improved Method for IR Determination of the Degree of N-Acetylation of Chitosan, *Int. J. Biol. Macromol.*, **14**, p. 166 (1992).
- [16] Khan T. a., Peh K. K., Ch'ng H. S., Reporting Degree of Deacetylation Values of Chitosan: The Influence of Analytical Methods, *J. Pharm. Pharmaceut. Sci.*, **5**, p. 205 (2002).